














































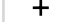



Christine Greif  
<http://www.usm.uni-muenchen.de/~koepferl>  
 This work is licensed under CC-BY-SA 4.0  
 Data: NPGeo-DE: VZ = Verdopplungszeit

- |   |                                |
|---|--------------------------------|
|    | Fit am 17.03; VZ: 2.41 d       |
|    | Fit am 18.03; VZ: 2.93 d       |
|    | Fit am 19.03; VZ: 2.92 d       |
|    | Fit am 20.03; VZ: 2.77 d       |
|    | Fit am 21.03; VZ: 2.83 d       |
|    | Fit am 22.03; VZ: 3.19 d       |
|    | Fit am 23.03; VZ: 3.50 d       |
|    | Fit am 24.03; VZ: 4.12 d       |
|    | Fit am 25.03; VZ: 5.52 d       |
|    | Fit am 26.03; VZ: 6.22 d       |
|    | Fit am 27.03; VZ: 6.74 d       |
|    | Fit am 28.03; VZ: 6.90 d       |
|    | Fit am 29.03; VZ: 6.89 d       |
|    | Fit am 30.03; VZ: 6.98 d       |
|    | Fit am 31.03; VZ: 7.59 d       |
|    | Fit am 01.04; VZ: 7.97 d       |
|    | Fit am 02.04; VZ: 8.25 d       |
|    | Fit am 03.04; VZ: 8.29 d       |
|    | Fit am 04.04; VZ: 8.09 d       |
|    | Fit am 05.04; VZ: 7.69 d       |
|    | Fit am 06.04; VZ: 7.95 d       |
|    | Fit am 07.04; VZ: 8.61 d       |
|    | Fit am 08.04; VZ: 10.01 d      |
|    | Fit am 09.04; VZ: 11.67 d      |
|    | Fit am 10.04; VZ: 13.67 d      |
|   | Fit am 11.04; VZ: 16.73 d      |
|  | Fit am 12.04; VZ: 20.42 d      |
|  | Fit am 14.04; VZ: 27.05 d      |
|  | Fit am 15.04; VZ: 35.99 d      |
|  | Fit am 16.04; VZ: 36.23 d      |
|  | Fit am 17.04; VZ: 36.70 d      |
|  | Fit am 18.04; VZ: 38.39 d      |
|  | Fit am 19.04; VZ: 38.07 d      |
|  | Fit am 21.04; VZ: 45.15 d      |
|  | Fit am 22.04; VZ: 51.88 d      |
|  | Fit am 23.04; VZ: 61.69 d      |
|  | Fit am 24.04; VZ: 78.20 d      |
|  | Fit am 27.04; VZ: 91.85 d      |
|  | Fit am 28.04; VZ: 102.97 d     |
|  | Fit am 29.04; VZ: 107.72 d     |
|  | Fit am 30.04; VZ: 113.99 d     |
|  | Ampel (Beatmungsbedarf ca. 5%) |
|  | Ampel (Beatmungsbedarf ca. 5%) |
|  | Ampel (Beatmungsbedarf ca. 5%) |
|  | Unsicherheiten                 |
|  | Kapazitaet Beatmungsapparate   |
|  | COVID19 erkrankt               |
|  | davon verstorben               |
|  | davon genesen                  |